

一次元カオスについて

東大 教養 高橋陽一郎

0. 一次元格子系に対する変分原理とカオス

格子系の古典統計力学における平衡状態だけ、次の変分原理によって、“熱力学的”に、特徴づけられる。

$$(1) \quad S(\mu) - \langle \beta U \rangle_\mu \rightarrow \max = P(\beta U)$$

ここで、 $S(\mu)$, $\langle \beta U \rangle_\mu$ は、state μ の下での、site あたりの平均エントロピー及び平均エネルギー, $\beta > 0$ は温度の逆数である。熱力学的極限 $P(\beta U)$ は、一次元格子 \mathbb{Z} の場合、Artin-Mazur-Ruelle のゼータ函数

$$(2) \quad \exp\left\{\sum_{n=1}^{\infty} \frac{z^n}{n} Z_n\right\}, \quad Z_n = \sum_{\omega: \sigma^n \omega} e^{-\sum_{i=0}^{n-1} \beta U(\sigma^i \omega)}$$

の収束半径 R は $z > 1$, $P(\beta U) = -\log R \approx 1 - \frac{1}{2} \log z$ である。

$T = T(z)$, σ は、 \mathbb{Z} 上の configuration $\omega = (\omega_t)_{t \in \mathbb{Z}}$ の σ -スレーブ,

$$(\sigma \omega)_t = \omega_{t+1} \quad (t \in \mathbb{Z})$$

一次元力学系 (J, f) に対する力オースの問題は、以下に述べるよう未だ不完全ではあるが、上と同様の、次のような変分原理による定式化が可能である。ただし、 J としては、 \mathbb{R} として、区間、又は、円周、変換 $f: J \rightarrow J$ は必要でない。滑らかさを仮定する。 $I_{\mu}(f)$ は、測度論的エントロピーとして、

$$(3) \quad I_{\mu}(f) = \beta \int_J \log |f'(x)| \mu(dx) \rightarrow \max. \quad \begin{pmatrix} \mu \text{ は } f\text{-不変な} \\ \text{確率測度} \\ \beta \geq 0 \end{pmatrix}$$

この右边の \max を $P_f(f)$ として、(2) と同類の \mathcal{L} 、 T^* 、 \mathcal{L} の逆数、を導入する：

$$(4) \quad D_f(z) = \exp \left\{ - \sum_{n=1}^{\infty} \frac{z^n}{n} Q_n \right\}, \quad Q_n = \sum_{x: f^n x = z} \frac{1}{|f'(f^{n-1}(x))|^{\beta}}$$

この中級数 $D_f(z)$ の最小の正の零点を $e^{-P_f(f)}$ と書く。すなはち、 $P_f(f)$ が (3) の \max と一致すれば、変分原理が成立する と呼ぶことにする。また、ここで考慮するは、 $\beta = 0, 1$ の場合で、 $\beta = 0$ の時に、 $z^0 = 1$ と約束する。

この報告では詳しくは述べない $\beta = 0$ の場合の結果に最初に触れておこう。この時、(3), (4) は、 f' に、言いまえれば、力学系 (J, f) の微分構造と無関係に、位相的 T_1 レベルの性質を記述している： $P_f(f)$ は、位相的エントロピー $- \text{ent}(J, f)$ と一致し、さらに、(3) の \max と一致する。即ち、変分原理が成立する。 $\beta = 0$ の時に、次の定理が知られていく。

定理 0. 次の4条件は互に同値である。

- (i) $\text{ent}(J, f) > 0$
- (ii) 周期 $n \in \{2^m; m \geq 0\}$ の周期点 $x \in J$ が存在する。
- (iii) (J, f) は、位相的カオスである, i.e., ある n に対して, f^n で不变な部分集合 $J_0 \subset J$ を選べば, (J_0, f^n) はマルコフ型のずらし(shift)と同型である。(この時, Li-Yorke の意味のカオスである)
- (iv) ある f -不变測度 μ について, 軌道 $x_0, x_1 = f(x_0), \dots, x_{n+1} = f(x_n), \dots$ が, (多重) マルコフ連鎖となる。

Remark $P_0(f) = \text{ent}(J, f) \geq 0$ は自明であるから, この定理は, 热力学的極限に相当する量 $P_0(f)$ の値によって, 位相的カオスの存在を判定できることを示している。すなはち, $P_0(f) = 0$ の場合には, ある自然数 n に対して, f は, 2^n 周期, $0 \leq k \leq n$ の周期軌道をもち, 他の周期軌道を持たない場合と, すべての n に対して, 2^n 周期の軌道をもつ場合に分かれる。前者の場合, 最高次の周期 2^n の軌道が安定であり, カオスというてばとは程遠い。しかし, 後の場合, 極周期運動である部分がない, Li-Yorke の意味でのカオスである。この時, (J, f) は混合的であるので, 位相的カオス (Y.Oono は formal chaos と呼んでいる) の方が適切な概念と思われる。

1. 観測可能なカオス：主定理

この報告で述べるのは、 $\beta=1$ の場合である。この時、(3) (4) は、 (J, f) の微分構造に陽に依存している。実際、この場合は、次のような問題を考えるのに適切である：

(5). $\left\{ \begin{array}{l} \text{ほとんどすべての出発点 } x_0 \in J \text{ に対して,} \\ \text{軌道 } x_0, x_1 = f(x_0), \dots \text{ は混合的} \end{array} \right.$

ここで、「ほとんどすべて」は、通常のルベーク測度 dx に関する考である。それは、 (J, f) を物理系として実験（= 数値実験）した場合に、観測にかかる種類の現象はどうか、という意味で、その典型的な場合は、 f -不変な不变密度函数 $\varphi(x)$ が存在して、 $(J, f, \varphi(x)dx)$ が混合的になる場合である。一般的に次のとおりに定式化される。

定義. 力学系 (J, f) が observable chaos とは、混合的な、 (J, f) の漸近測度の存在することを言う。ただし、 μ が漸近測度 (asymptotic measure) とは、ほとんどの $x \in J$ に対して、

$$\exists \lim_{n \rightarrow \infty} \frac{1}{n} \sum_{i=0}^{n-1} \varphi(f^i x) = \int_J \varphi(y) \mu(dy) \quad (\forall \varphi: \text{連続函数})$$

が成立することを言う。（より一般的には、この等式が成立する x の集合のルベーク測度が正であることを必要とする。）絶対連続な不变測度 μ は、 $\pm \sqrt{3}$ 人、漸近測度である。

定理 1. $P_i(f) > 0 \Leftrightarrow$ 安定な周期軌道の存在

定理 2. 絶対連続な不変測度の存在^{*)} $\Rightarrow P_i(f) = 0$.

定理 3. f が区分的で C^1 級で, $\log |f'(x)|$ が有界である
ば, ついに, $P_i(f) \geq 0$. で, 平衡測度^{**)} が存在する.

定理 4. 上の定理 1-3 の仮定の下で, ついに, 変分原
理が成立する.

変分原理の成立しない例, $P_i(f) < 0$ の例は後で述べる.

ここで, (3) の左辺の第2項の意味を確かめておこう. 今, μ は
エルゴード的で不変測度とすれば, Birkhoff の定理より,

$$\lim_{n \rightarrow \infty} \frac{1}{n} \sum_{k=0}^{n-1} \log |f(f^k(x))| = \int \log |f'(x)| \mu(dx), \text{ a.e. } x$$

従って, このとき, $\frac{1}{n} \log \left| \frac{d(f^n)}{dx}(x) \right|$ の極限に等しく, したが
て $n \rightarrow \infty$ の f^n の平均拡大率を表す. これは, Liapunov の特
性指数の特別の場合である. ついに, すべての周期軌道が不
安定で, 絶対連続な不変測度 μ が存在する時に, この μ が平
衡測度となり, この測度論的エントロピー $-h_\mu(f)$ は, 定理 2 よ
り,

$$h_\mu(f) = \int \log |f'(x)| \mu(dx)$$

を計算できる.

^{*)} 安定な周期軌道がない場合

^{**)} (3) の max を取った測度 μ は, (\mathcal{J}, f) の平衡測度と呼ぶ.

2. 作用素 L_f の Fredholm 行列式

前節に述べた定理の成立する背景には、以下の 3 つを事実がある。まず、古典統計力学で transfer matrix と呼ばれてる系 Γ と対応する作用素 L_f を導入しよう。

$$(L_f \varphi)(x) = \sum_{y \in f^{-1}(x)} \frac{\varphi(y)}{|f'(y)|} \quad (\varphi \in L' \equiv L'(\Gamma, dx))$$

この時、次の性質はまことにである。

- 1). 測度 $\varphi(x)dx$ の f による像は、測度 $(L_f \varphi)G dx$ である。
- 2). L' 上の作用素 L_f は非負で、 $\|\varphi\|_L \leq 1$ のとき $1 \leq \|L_f \varphi\|_L \leq 1$ である。
- 3). 絶対連続な不変測度 μ の存在 ($\mu(dx) = \varphi(x)dx$) と、 $L_f \varphi = \varphi$ の存在の存在、言いかえれば、 L_f が固有値 1 をもつことを同値である。

次節で例を挙げるが、一般に作用素 L_f は compact operator とはならぬ。compact に至る例としては、Hölder 連続な導函数 f' をもつマルコフ型の変換の場合がある。ただし、

定義：有界閉区間 $\Gamma = [a, b]$ の連続な変換 f が単純マルコフ型であるとは、次の 3 条件の存在である。
 (1). 各部分区間 $[c_i, c_j]$ 上で、 f は單調。

- (2). 分点 c_i の f による像は再び分点 i.e. $f([c_i, c_j]) \subset [f(c_i), f(c_j)]$
- (3). f がマルコフ型とし、 f^p が单純マルコフ

型であることをいう。(尤豫しては、多重マルコフ型)

单纯マルコフ型変換 f が今まで語る折線で定義されてい
れば、条件

$$L_f(\sum_i \alpha_i 1_{(c_{i-1}, c_i)}) = \sum_i (\sum_j L(f)_{ij} \alpha_j) 1_{(c_{i-1}, c_i)}$$

$i=1, 2, \dots$, 行列 $L(f) = (L(f)_{ij})$ を定義できる。ただし、 \exists_A は
集合 A の定義函数とす。この時、次の性質は見易い。

4°). (1)

$$D_f(z) = \exp \left\{ - \sum_{n=1}^{\infty} \frac{z^n}{n} \operatorname{Tr} L(f)^n \right\} = \det(I - zL(f))$$

ただし、0節(4)の Q_n の定義において、集合 $\{x; f^n x = x\}$
が無限集合となる場合には、その各連結成分を一点と見なして
和をとることとする。

(2). L_f は compact 作用素で、純点スペクトルを持ち、その
固有値 $1, 0$ 及び $L(f)$ の固有値である。従って、 $D_f(z)$ は
作用素 L_f の Fredholm 行列式 $\prod_{\lambda: L_f \text{ 固有値}} (1 - z\lambda)$ と一致する。

多重マルコフ型折線変換の場合も (1), (2) が成立する。この
事で、次の自明な命題によって、一般の f に対して \exists , $D_f(z)$
は L_f の Fredholm 行列式 (に相当する $\neq 0$) と考えられる。

命題. f を区分的に C^2 級の変換、 f_n をマルコフ型折線変
換とする。 f_n が f に一様収束し、 f'_n が f' に各々収束していく
ば、 $D_{f_n}(z)$ は形式的中級数として、 $D_f(z)$ に収束する。

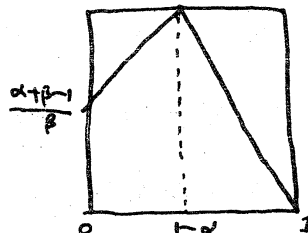
この命題によって、 L_f の固有値 1 を持つこと、

$D_f(1)=0$ と, $P_1(1)=0$ とか, 1つ1つの値を $\tau_{\alpha, \beta}$ で表すと想定する.

3. 単峰折線変換の場合

$$0 < \alpha < 1, \beta > 0, \alpha + \beta \geq 1 \text{ として},$$

$$f_{\alpha, \beta}(x) = \begin{cases} \beta^x(x + \alpha + \beta - 1) & (0 \leq x \leq 1 - \alpha) \\ \alpha^x(1 - x) & (1 - \alpha \leq x \leq 1) \end{cases}$$



の形の変換で、单峰折線(Unimodal Linear)変換とする。これは [ITN] で詳しく研究され、次のような性質を持つ。(cf. [TP])

UML 1 ([ITN])

- (a) 絶対連続な不変測度の存在 ($\tau_{\alpha, \beta}$ の存在) \times α, β の範囲
(α, β は集合 W_k の組合せである。 $(k=1, 2, 3, \dots)$)

$$W_1: \beta > 1, W_2: \beta < 1, \alpha \beta > 1, W_3: \alpha \beta^2 > 1, \alpha \beta(\alpha + \beta) > 1 \text{ etc.}$$

この時、 $(\alpha, \beta) \in W_k$ ならば、^{安定な周期 k の周期軌道} 唯一存在し、a.e. x から出発した軌道は C に近づく。

- (b) 絶対連続な不変測度 $\mu_{\alpha, \beta}$ が存在する $\tau_{\alpha, \beta}$ には、その不変密度 ν 、 $\varphi_{\alpha, \beta}(x)^{\nu} \circ T^{-t}$ を規格化して $T = \frac{1}{k}$ ので $\tau_{\alpha, \beta}$ とする。ただし、

$$\varphi_{\alpha, \beta}(x) = \sum_{n=0}^{\infty} (-\alpha)^{P_n} \beta^{n-P_n} \mathbf{1}(x > f_{\alpha, \beta}^n 0)$$

$$P_n = \#\{0 \leq t < n; f_{\alpha, \beta}^t 0 > 1 - \alpha\}$$

- (c). (α, β) が、 W_k と隣接する領域 I_k ($k=3, 4, \dots$) に属する時、 $\mu_{\alpha, \beta}$ の性質 $\{0, 1\}$ 全体で、 $([0, 1], f_{\alpha, \beta}, \mu_{\alpha, \beta})$ は混合的。

(d). $(\alpha, \beta) \in I_k$, $k \geq 3$, の時, $\mu_{\alpha, \beta}$ の台は k 個の区間 J_1, \dots, J_k で、
 $J_k = \text{空} \neq \text{山}$ 3. $T = T^k L$. $J_i \cap J_j = \emptyset$ ($i \neq j$). $(\alpha, \beta) \in I_2$ の時 $= I_3$, $k = 2^m$ ($m \geq 1$) の区間 J_1, \dots, J_{2^m} で、 $J_{2^m} = \text{空} \neq \text{山}$ 3. “山”の場合は、各
 $(J_i, f_{\alpha, \beta}|_{J_i}, \mu_{\alpha, \beta}|_{J_i})$ は混合的 T^k で、 $(I[0, 1], f_{\alpha, \beta}, \mu_{\alpha, \beta})$ は単に
 I 上の一様的である。

Remark. $(\alpha, \beta) \in W_k$ の場合 (a) I_3 , R. May や “窓 window”
 と呼んだ現象が生じて “山” の現象である。 (d) は $\mu_{\alpha, \beta}$ の台が “山”
 と “窓” と呼ぶ “山” の現象である。 つまり (c) が observable chaos.

UML 2 $D_{\alpha, \beta}(z) = D_{f_{\alpha, \beta}}(z)$ 以下の性質を持つ。

$$(i). D_{\alpha, \beta}(z) = 1 - \alpha \sum_{n=0}^{\infty} (-\alpha)^{p_n} \beta^{n-p_n} z^{n+1}$$

$$(ii) D_{\alpha, \beta}(\lambda) = 0 \Leftrightarrow (\lambda, 0)$$

$$\gamma_{\alpha, \beta}(z) \equiv \sum_{n=0}^{\infty} (-\alpha)^{p_n} \beta^{n-p_n} z^n \mathbf{1}_{(z > f_{\alpha, \beta}(0))} = \lambda \mathcal{I}_{f_{\alpha, \beta}}(z)$$

$$(iii) (\alpha, \beta) \in W_k \times \mathbb{R}_+^2, P_1(f_{\alpha, \beta}) = -\frac{1}{k} \log \alpha \beta^{k-1} > 0 \quad (k \geq 1).$$

$$z \mapsto z^k \gamma_{\alpha, \beta}(z), \quad P_1(f_{\alpha, \beta}) = 0.$$

$$(iv). (\alpha, \beta) \in I_k \text{ の時}, \#\{z; |z|=1, D_{\alpha, \beta}(z)=0\} = \begin{cases} k & (k \geq 3) \\ 2^m & (k=2) \end{cases}$$

$$\text{または}, (\alpha, \beta) \notin \bigcup W_k \cup \bigcup I_k \text{ の時},$$

$$D_{\alpha, \beta}(z) = 0, \quad z \neq 1 \Rightarrow |z| > 1.$$

$$(v). f_{\alpha, \beta} \text{ マルコフ型} \Leftrightarrow D_{\alpha, \beta}(z) \text{ 有理函数}$$

$$(vi). f_{\alpha, \beta} \text{ マルコフ型} \Leftrightarrow D_{\alpha, \beta}(z) \text{ の自然境界} \neq \text{ 中級数}.$$

証明は、 (ii), (iii), (iv) は直接計算による。マルコフ型の時
の主張 (v), (vi) はまきらか。 (vi) は Hadamard の meromorphic radius
の計算による。残りのすべて本質的な部分は、マルコフ型の
 $\Gamma = \Gamma_0$ 近似の方法である。

この結果は、冒頭に述べた、 $P_i(f)$ と i , $D_f(z)$ の性質
によって、单峰折線変換のカオスに関する問題が、不变密度の存在のうち3つ台の数について、見事に分類できる
を示している。

すなはち、 (vi) は、 (ii) をあわせれば、作用素 $I_{f_n, \beta}$ の固有値
が、 0 でない集積点を持つことを意味している。従って、
くに、 I_f は compact operator ではない。

最後に、位相的レベルの結果 ($P_0(f) \neq 0$) と比較すれば、
一次元の変換の場合でも、 observable chaos の問題は複雑な位相
をもつてることに注意しておこう。さるに、 [ITN] によれば、 各 W_k 内に $\overset{U}{I_{f_k}}$ ハラメタの下で時、 $\text{ent}(f_{k, \beta})$ は一定値をとるこ
とが知られている ($k \geq 3$)。 逆に言えど、島、窓の Γ_0 は、 $D_f(z)$
へこむだけでは普通 (I_f の $L^1 L^{\infty}$ が固有値) でない現象は、
 $\text{ent}(f)$ が flat 領域の上で生じている。これま、一般のカオス
系に対して予想できよう。この予想を象徴的に書けば、

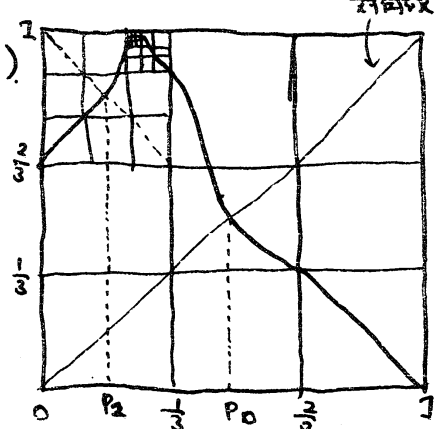
$$\delta[\text{ent}(f)] \neq 0 \Rightarrow P_i(f) = 0.$$

4. 不変な Cantor set

以下の例は、少くとも筆者には、C¹級の区間の変換に対して、実際に成立しているかどうかだけはまではない。(少くとも、連續で、一点を除いてC⁰級となる例はあるが。) しかし、一つには、少くとも、端から端へと連続な変換族の極限として、境界的な現象の起きた場合に相当すること、他方、高次元変換^{△3}、吸引子、Poincaré写像、Lorenz plot等の手法との他にて、一次元に帰着した変換は、そのもので端から端まで全く、区分的な端から端へと保證できないところ、考慮の対象に含めてみたを得ない。

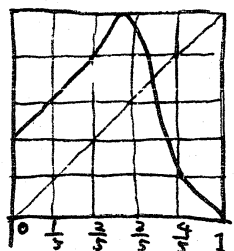
例1. (2中周期で始めてきた例)

右図のように、区間I=[0,1]を三等分し、 $[\frac{2}{3}, 1]$ で逆双曲線^{△1}一致させ、 $[\frac{1}{3}, \frac{2}{3}]$ では、 $f(\frac{1}{3}) = \frac{8}{9}$ として端から曲線で結ぶ。 $[0, \frac{1}{3}]$ は、さうに三等分して、同様の手続を^{△2}グラフで定め、これを無限回くり返してグラフ^{△3}fを作る。この時、 $[\frac{1}{3}, \frac{2}{3}]$ 上の曲線が適当な条件を満たせば、この中に唯一つの不動点 P_0 をもつ、 $[\frac{1}{3}, \frac{2}{3}] \setminus \{ P_0 \}$ の任意の点の軌道は、いつか、 $[\frac{1}{3}, \frac{2}{3}]$ の外に出て、再び戻らないようにできる。されば、この時、 $f'(P_0) < -1$ は任意に選べる。次に、 $[\frac{1}{9}, \frac{2}{9}]$ 内



1. 固期2の固期点 P_2 が時一入射線にてり, $f'(P_2) > 1$ の任意に述べ, $x \in [\frac{1}{3}, \frac{2}{3}]$, $x=P_2$ から出発する軌道は, T_2 時刻以後, 再び $[\frac{1}{3}, \frac{2}{3}]$ に至る T_3 にてりとす. このときには, 各 $m=0, 1, 2, \dots$ に対して, 唯一の固期2^mの軌道 $\{f^m P_m\}$ が存在し, これらの固期軌道に属さない他の軌道は, 古典的な Cantor 集合 $C = \{x = \sum_{n=1}^{\infty} \frac{a_n}{3^n}; a_n = 0 \text{ or } 2\}$ に似て近づくことができる. たゞに, $[\frac{2}{3}, \frac{3}{3}]$, $[0, \frac{1}{3}]$ etc 上どうかの値を取る, $T_2 = T_3$ とする, C 上の一様測度 μ は, この変換 f の漸近測度である. つまりに, observable chaos の観察が可能, この系の性質は, μ の下に定めて定まる. 一方, $f'(P_m)$ は任意性がある ($m \geq 0$) から, $D_f(x)$ は, 組合せやによります, これに, $P_i(f)$ は, 組合せの値 ≤ 0 となることができる. 一方で, f を C 上に制限して, 不齊測度 μ をヨミにして得られる系 (C, f, μ) は, エルゴード的で, 弱混合でなく, エントロピーが0である. つまりに, 变分原理が成立しない場合がある. また, $P_i(f)$ は, 漸近測度 μ の情報を全く持っていない. この意味では, 显著に述べ $t = \text{approach}$ の反例として致命的である. ただし, f の有界性を假定すれば, $P_i(f) = 0$ となる, 我々の構造分子ははつれていないものと考えてよい.

例2. (無限重の島) 次頁の左側の図は島が3つ生じて、



3例である。(島1, $[0, \frac{1}{5}]$, $[\frac{2}{5}, \frac{3}{5}]$, $[\frac{4}{5}, 1]$)

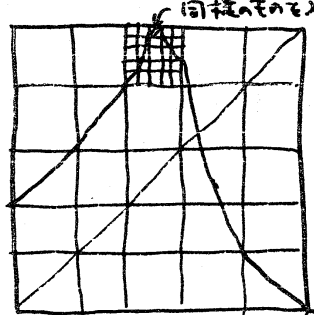
$\frac{3}{5} \leq x \leq \frac{4}{5}$ かつ $f(x) \leq \frac{4}{5}$ の時, $|f'(x)| \geq c > 1$ な
れば, $[\frac{1}{5}, \frac{2}{5}] \cup [\frac{3}{5}, \frac{4}{5}]$ から出発した場合
どうぞの軌道が, この2つの区間を離さ

しないでゐることは確かである。

5×5の小正方形の中の中央上部の半
分に(左右逆の)同様のグラフをはじめ
こんでいくと, 右図のようなグラフが

できます。このとき, 3つの島をもどし

の中に3つの島が無限に入りこなす。この場合現れるCantor
集合は, $C = \{z = \sum_{n=1}^{\infty} \frac{a_n}{5^n}; a_n = 0, 2, 4\}$ であり, この上a-
漸近測度 μ は漸近測度 ν である。再び C の外の同期軌道 $\Omega(f)$ は
任意性があるのを, 前例と同様の状況を生じる。この場合
も, f' の有界性を仮定すれば, $P_r(f) = 0$ となる。



5. 主定理について

証明については, [トト] に(間接的に証明されている場
合を取る)述べてあるので省略。定理4は不十分なもので
 f が可逆といふ仮定で十分な点を予想している。定理2は,
同じ仮定の下で, 「 $P_r(f) = 0$ ならば漸近測度が存在する, ...」
と言, たゞには証明される可能性を残している。定理3も同様

に不十分でないが、変分原理が $(3) \sup = P_1(f)$ の形) 成立し、平衡測度 ($\sup \leq \mu$) の存在しない例は構成できる。また、Cantor set も不変集合 (これは吸引、attractor) にならう場合に適応して、

$$P_1(f) < 0 \Rightarrow \text{Cantor attractor の存在}$$

は予想される。

文献 (直接引用したもののうち)

[ITN]. On Unimodal Linear Transformations and Chaos I, II.
(Sh.Ito-S.Tanaka-H.Nakada)
Tokyo J. Math. vol.2. (1979) pp.221-

[T7]. カオス、周期点、エントロピー—一次元力学系の
エルゴード理論、日本物理学会誌 vol.35 no.2 (1980). p.149-

[T8] 区間力学系のカオスと周期点、都立大学数学教室セ
ミナー報告。

Y.Oono-Y.Takahashi, Chaos, External Noise, and Fredholm Theory
to appear.

最後に、この報告は、大野克嗣氏(九大)との共同研究を
もとに進展したものであることを書きとめておく。森肇先生
(九大) からは多くの助言と encouragement を頂いた。深く感謝し
てある。また、江沢・長谷川西先生はじめとする物理の方
々との接触の機会を organize された方々に感謝している。